

九州大学 正員 山崎徳也

福岡建設コンサルタント 正員 須藤 実

九州大学 学生員 石川信隆

**1. 緒言** 着者らは先に一定曲げと漸増軸力を受ける連続ばかりの弾塑性安定限界について論したが、ここでは一定軸力と漸増曲げを受ける鋼構造骨組の弾塑性挙動に対する説明を試みるものである。既にかかる研究は、R.H.Wood<sup>1)</sup>および坂本・宮村<sup>2)</sup>など数多くの人によって行われ、なかでもR.H.Woodは幾つかの数値解析例によつて塑性域における骨組の不安定現象か最終耐力に及ぼす影響を検討している。本研究は上記諸研究とは異なり、まず弾塑性域における曲げモーメント(M)-軸力(N)-曲率(φ)関係のNを一定としてM-中曲線をM-中近似直線で置換し、ついで片持ばかりの弾塑性挙動に関する基本的考察を行い、さらに一定軸力と漸増曲げを受ける部材の弾塑性たわみ角式を導くと共に、かかるラーメンの弾塑性解析法の確立を企図するものである。

なお、本論文では文献(1)と同様の仮定を用いる。

## 2. 基本的考察

(1) M-中近似直線 軸力Nを一定としたときのM-中曲線を図-1のごとく直線で近似し、 $\phi_1$ 、 $\phi_2$ 近似直線の勾配をそれぞれ $EI/k_1'$ 、 $EI/k_2'$ とすれば、弾性、 $\phi_1$ および $\phi_2$ 弾塑性域における曲率中にはそれぞれ次式のごとく表わされる。

$$\text{i) 弹性: } \phi_e = M/EI \quad \dots \quad (1)$$

$$\text{ii) } \phi_1 \text{ 弹塑性: } \phi_{1e} = k_1'(M - M_1)/EI + \phi_e \quad \dots \quad (2)$$

ただし  $\phi_{1e} = M_1/EI$ ,  $M_1 = (1-n)M_y$ ,  $n = N/N_y$ ,  $M_y$ : 純曲げによる降伏曲げモーメント,  
 $k_1'$ : 軸力のみによる全断面降伏力

$$\text{iii) } \phi_2 \text{ 弹塑性: } \phi_{2e} = k_2'(M - M_2)/EI + \phi_{1e} \quad \dots \quad (3)$$

$$\text{ただし } \phi_{2e} = k_2'(M_2 - M_1)/EI + \phi_{1e}, \quad M_2 = (1+n-2n^2)M_y$$

ここで、式(2)、(3)のM-中近似直線の勾配を規定する $k_1'$ および $k_2'$ はIネルギー等置法<sup>3)</sup>によつて決定され、矩形断面では次値となる。

$$k_1' = 1/(1-n), \quad k_2' = 4(1+n^2)/(1-n)^3 \quad \dots \quad (4)$$

### (2) Cantilever の弾塑性挙動

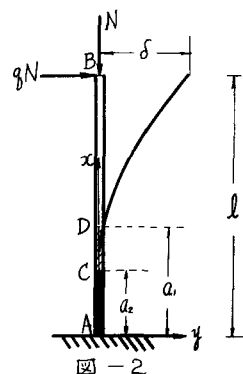
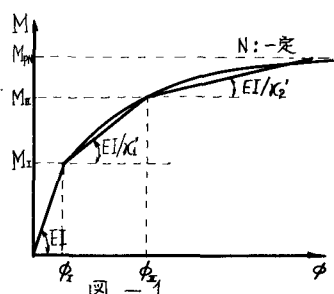
図-2に示すごとき Cantilever のB端に一定軸力Nおよび漸増水平力qNが作用するときの弾塑性解析を行えば以下のとくである。

まず任意の曲げモーメントMはたわみによる付加曲げモーメントを考慮して次式で表わされる。

$$M = -\{N(\delta - y) + qN(l - x)\} \quad \dots \quad (5)$$

ついで変形を微小と考えれば  $dX^2/d^2y = \ddot{y} = -\dot{\phi}$  が成立するゆえ、式(1)～(3)と式(5)とを用うれば、弾性(D～B)、 $\phi_1$ 弾塑性(C～D)および $\phi_2$ 弾塑性(A～C)の各領域における微分方程式ならびにたわみとたわみ角からそれそれ次式のごとく求められる。

$$\text{i) 弹性(D～B): } \ddot{y}_e = N\{\delta - y + q(l - x)\}/EI$$



$$\begin{aligned} y_E &= C_1 \sin kx + C_2 \cos kx + \delta + q(l-x) \\ j_E &= C_1 k \cos kx - C_2 k \sin kx - q \end{aligned} \quad \left. \begin{array}{l} (6) \\ \text{ただし } k^2 = N/EI \end{array} \right\}$$

ii) 第1弾塑性(C~D) :

$$\begin{aligned} \ddot{j}_{p1} &= X'_1 \{ N(\delta - y) + qN(l-x) - M_x \} / EI + \dot{\phi}_x \\ y_{p1} &= C_3 \sin k_1 x + C_4 \cos k_1 x + \delta + q(l-x) - \bar{M}_x / N \\ \dot{y}_{p1} &= C_3 k_1 \cos k_1 x - C_4 k_1 \sin k_1 x - q \end{aligned} \quad \left. \begin{array}{l} (7) \\ \text{ただし } k_1^2 = X'_1 N/EI \\ \bar{M}_x = -X'_1 M_x / X'_1 \\ X_1 = X'_1 - 1 \end{array} \right\}$$

iii) 第2弾塑性(A~C) :

$$\begin{aligned} \ddot{j}_{p2} &= X'_2 \{ N(\delta - y) + qN(l-x) - M_x \} / EI + \dot{\phi}_x \\ y_{p2} &= C_5 \sin k_2 x + C_6 \cos k_2 x + \delta + q(l-x) - \bar{M}_x / N \\ \dot{y}_{p2} &= C_5 k_2 \cos k_2 x - C_6 k_2 \sin k_2 x - q \end{aligned} \quad \left. \begin{array}{l} (8) \\ \text{ただし } k_2^2 = X'_2 N/EI \\ \bar{M}_x = -(M_x X'_2 + M_x) / X'_2 \\ X_2 = X'_2 - 1 \end{array} \right\}$$

上式に含まれる積分常数  $C_1, C_2, \dots, C_6$  は次式のごとき弾塑性境界におけるたわみとたわみ角の連続条件および端点 A, B の境界条件によって決定される。

$$\begin{aligned} \text{すなはち}, \quad x=0 \quad &y_{p2}=0, \quad x=a_2 \quad &y_{p2}=y_{p1}, \quad \dot{y}_{p2}=\dot{y}_{p1} \\ x=a_1 \quad &y_{p1}=y_E, \quad \dot{y}_{p1}=\dot{y}_E, \quad x=l \quad &y_E=\delta \end{aligned} \quad \left. \begin{array}{l} (9) \end{array} \right\}$$

よって  $x=0$  で  $\dot{y}_{p2}=0$  を用うれば、結局所要の水平力係数  $q$  が次式のごとく求められる。

$$q = k_2 \cdot C_5 \quad \dots \quad (10)$$

$$\begin{aligned} \text{ただし} \quad C_5 &= (F_2 - C_3 \sin k_2 a_2 - C_4 \cos k_2 a_2) / D_1, \quad D_1 = k_2 l \cos k_2 a_2 - \sin k_2 a_2, \\ C_6 &= (\bar{M}_x / N - \delta - C_5 k_2 l), \quad D_2 = k_2 \cos k_2 a_2 + k_2^2 l \sin k_2 a_2, \\ C_3 &= (D_3 F_3 - D_4 F_4) / D, \quad D_3 = D_2 \sin k_2 a_2 + k_2 D_1 \cos k_2 a_2, \\ C_4 &= (D_3 F_4 - D_2 F_3) / D, \quad D_4 = D_2 \cos k_2 a_2 - k_2 D_1 \sin k_2 a_2, \\ F_1 &= (\bar{M}_x - \bar{M}_x) / N - \cot k_2 a_2 (\delta + \bar{M}_x / N), \quad D_5 = \sin k_2 a_2 - \tan k_2 l \cos k_2 a_2, \\ F_2 &= k_2 \sin k_2 a_2 (\delta + \bar{M}_x / N), \quad D_6 = (\cos k_2 a_2 + \tan k_2 l \sin k_2 a_2) k_2, \\ F_3 &= F_1 D_2 + D_3 F_4, \quad D_7 = D_5 k_2 \cos k_2 a_2 - D_6 \sin k_2 a_2, \\ F_4 &= D_6 \bar{M}_x / N, \quad D_8 = -D_5 k_2 \sin k_2 a_2 - D_6 \cos k_2 a_2, \\ & \quad D = D_3 D_8 - D_4 D_7 \end{aligned}$$

また、第1および第2弾塑性領域未知数  $a_1$  および  $a_2$  は弾塑性境界条件、すなはち図-2の D, C 点の算出曲げモーメントが部材の初期降伏曲げモーメント  $M_x$  および臨界曲げモーメント  $\bar{M}_x$  に等しかるべき条件より、式(5)を用いて次式のごとくえらべる。

$$\begin{aligned} |M_A| \geq M_x \text{ のとき } a_1 &= \frac{-1}{k_1} \sin^{-1} \left( \frac{M_x + \bar{M}_x}{N Q_1} \right) - \frac{\alpha_1}{k_1}, \quad \text{ただし } \alpha_1 = \tan^{-1} \left( \frac{C_6}{C_5} \right), \quad Q_1 = \sqrt{C_3^2 + C_4^2} \\ |M_A| \geq \bar{M}_x \text{ のとき } a_2 &= \frac{-1}{k_2} \sin^{-1} \left( \frac{\bar{M}_x + M_x}{N Q_2} \right) - \frac{\alpha_2}{k_2}, \quad \text{ただし } \alpha_2 = \tan^{-1} \left( \frac{C_6}{C_5} \right), \quad Q_2 = \sqrt{C_3^2 + C_4^2} \end{aligned} \quad \left. \begin{array}{l} (11) \end{array} \right\}$$

式(10)および式(11)の算出に際しては、当初  $a_1$  および  $a_2$  が未知なるゆえ、これらを以下のごとき弾性解析によってえらべる値で近似する。すなはち、まず式(6)に  $x=0$  で  $y_E=\dot{y}_E=0$  および  $x=l$  で  $y_E=\delta$  を代入のうえ  $\delta$  または  $q$  を式(8)のごとく求め、これと式(5)を用いて  $a_1$  および  $a_2$  の第1次近似値をそれぞれ式(13)のごとくうる。

$$\delta = (\tan k_1 l / k_1 l - 1) q l \quad \text{または } q = k_1 \delta / (\tan k_1 l - k_1 l) \quad \dots \quad (12)$$

$$\left. \begin{array}{l} |M_A| \geq M_z \text{ のとき } a_1 = l - \frac{1}{k_e} \sin^{-1} \left( \frac{k_e \cos \delta \cdot M_z}{8N} \right) \\ |M_A| \leq M_z \text{ のとき } a_2 = l - \frac{1}{k_e} \sin^{-1} \left( \frac{k_e \cos \delta \cdot M_z}{8N} \right) \end{array} \right\} \quad (13)$$

一方、初期降伏時のたわみ  $\delta_y$  やび水平力係数  $q_y$  は式(12)と  $|M_A| = N(\delta + q_y l) = M_z$  よりそれそれ次値のごとくえられる。

$$\delta_y = \left( 1 - \frac{k_e l}{\tan k_e l} \right) \frac{M_z}{N}, \quad q_y = \frac{k_e}{\tan k_e l} \cdot \frac{M_z}{N} \quad \dots (14)$$

よってデータとして  $\delta = \delta_y + \Delta \delta (> 0)$  を与えれば、A端近傍よりオ1、オ2弾塑性領域  $a_1, a_2$  が発生することが分るゆえ、まず式(13)より  $a_1, a_2$  を求め、ついで式(10), (11)を併用する収斂計算により所要の  $q$  をうることとなる。上記演算過程をフローチャートに示せば図-3のごとくである。

(3)数値計算例 坂本・宮村氏らは Cantilever を n 等分してくり返し計算による厳密解を示しているが、ここではその結果と比較するため次の諸値を用いて数値計算を行つた。

$$l = 170 \text{ cm}, \text{ 矩形断面 } 20 \times 37.56 \text{ cm}, \sigma_y = 3.3 \text{ t/cm}^2, E = 2.1 \times 10^3 \text{ t/cm}^2$$

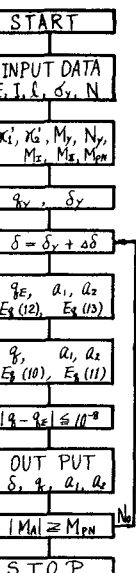


図-3

図-4 は軸力比  $n = N/N_y$  をパラメータとしたときの水平力係数  $q$  とたわみ  $\delta$  との関係を図示したもので、 $n = 0.3$  の場合を除いて厳密解と良い一致を示している。 $\delta$  が安定状態より不安定状態に移行するときの限界たわみ  $\delta_m$  やび限界水平力係数  $q_{cr}$  が表-1のごとくえられる。ただし \* 印は  $|M_A| = M_{PN}$  ( $= 1.5(1-n)M_z$ ; 塑性曲げモーメント) に達したときの値を示す。

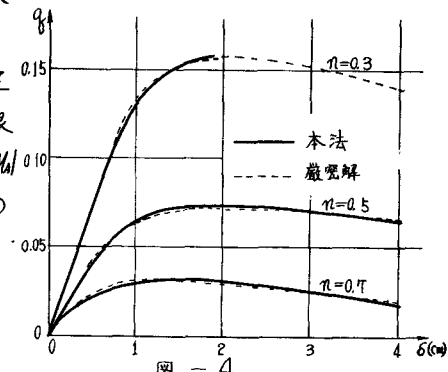


図-4

### 3. 弹塑性たわみ角式の誘導

#### (1)一端にのみ弾塑性領域が生ずる場合

いま図-5に示すごとき弾塑性部材ABを考え、A端よりオ1、オ2弾塑性領域  $a_1, a_2$  がそれぞれ生ずるものとすれば、まず任意の曲げモーメント  $M$  は次式で表わされる。

$$M = \frac{l-x}{l} M_{AB} - \frac{x}{l} M_{BA} + N \left( y - \frac{\delta}{l} x \right) \quad \dots (15)$$

ついで式(1), (2), (3)と式(15)とを用うれば、式(6)～式(8)と同様に、弾性(D～B), オ1弾塑性(C～D)およびオ2弾塑性(A～C)の各領域における微分方程式ならびにたわみとたわみ角がそれそれ求められることとなり、さらに式(9)のごとき弾塑性境界におけるたわみとたわみ角の連続条件およびA, B両端の境界条件を用うことにより、6ヶの積分常数が決定されることとなる。

$n$	$\delta_{cr}$		$q_{cr}$	
	厳密解	本法	厳密解	本法
0.3	1.90	* 1.819	0.15424	0.15626
0.5	1.80	1.958	0.06919	0.07130
0.7	1.30	1.296	0.02859	0.03081

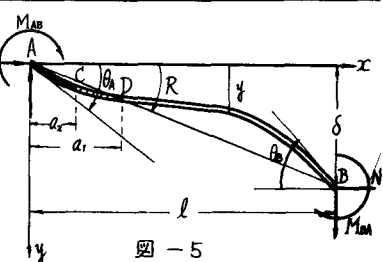


図-5

よって  $x=0$  で  $\dot{\gamma}_A = \theta_A$  および  $x=l$  で  $\dot{\gamma}_B = \theta_B$  より未知の  $M_{AB}$  および  $M_{BA}$  を求めれば、結局所要の弾塑性にわみ角式が次式のごとく誘導される。

$$\left. \begin{aligned} M_{AB} &= k_{AB} (\alpha_{AB} \gamma_A + \beta_{AB} \gamma_B + \gamma_{AB} \psi_{AB}) + \gamma_5 M_{BA} \\ M_{BA} &= k_{AB} (\alpha_{AB} \gamma_B + \beta_{BA} \gamma_A + \gamma_{BA} \psi_{AB}) + \gamma_6 M_{AB} \end{aligned} \right\} \quad (16)$$

ここに  $\kappa = K/K_o$ ,  $K_o = I_o/l_o$ ,  $\gamma_A = 2EK_o \theta_A$ ,  $\gamma_B = 2EK_o \theta_B$ ,  $\psi_{AB} = -6EK_o R$ .

また係数  $\alpha_{AB}$ ,  $\beta_{AB}$ , ...,  $\gamma_{AB}$  および弾塑性頂点,  $\gamma_i$  はそれぞれ表-2のごとき内容となる。

表-2

$\alpha_{AB}$	$k_o^2 \lambda / 2\Delta$	$\lambda$	$C_{1a} R_{el} l + 1$	$C_{1a}$	$C_{1a} \sin k_o A_2 / \sin k_o A_1 + C_{1a} \cos k_o A_2 / \sin k_o A_2 - \cos k_o A_1 / \sin k_o A_2$
$\beta_{AB}$	$-k_o^2 \lambda^2 / \Delta$	$\lambda_2$	$C_{1b} R_{el} l + 1$	$C_{1b}$	$C_{1b} \sin k_o A_2 / \sin k_o A_1 + C_{1b} \cos k_o A_2 / \sin k_o A_2$
$\gamma_{AB}$	$(\alpha_{AB} + \beta_{AB}) / 3$	$\lambda_3$	$C_{1c} R_{el} \cot k_o l - C_{1c} R_{el} \sin k_o l + 1$	$C_{1c}$	$C_{1c} \sin k_o A_2 / \sin k_o A_1 + C_{1c} \cos k_o A_2 / \sin k_o A_2 + 1$
$\gamma_5$	$(\lambda_1 \mu_1 + \lambda_2 \mu_2) / \Delta$	$\lambda_4$	$C_{1d} R_{el} \cot k_o l - C_{1d} R_{el} \sin k_o l + 1$	$+ M_o (\cot k_o A_2 - 1) / M_o$	
$\gamma_6$	$-k_o^2 \lambda^2 / \Delta$	$\lambda_5$	$R_{el} l C_{1g} / N_l$	$C_{1g}$	$-C_{1g} \tan k_o l$
$\alpha_{BA}$	$k_o^2 \lambda^2 / \Delta$	$\lambda_6$	$(C_{1g} R_{el} \cot k_o l - C_{1g} R_{el} \sin k_o l) / N_l$	$C_{1b}$	$-C_{1b} \tan k_o l / \cot k_o l$
$\beta_{BA}$	$(\alpha_{BA} + \beta_{BA}) / 3$	$\Delta$	$d_5 d_4 - d_5 d_5$	$C_{1c}$	$-C_{1c} \tan k_o l$
$\gamma_{BA}$	$(\lambda_1 \mu_1 - \lambda_2 \mu_2) / \Delta$	$f_1$	$R_{el} \sin k_o A_1 / \cot k_o l - d_5 \cot k_o A_1 / \cot k_o l$	$C_{1g}$	$C_{1g}$
$C_{1a}$	$-C_{1a} \sin k_o A_1 / d_1 - C_{1a} \cos k_o A_1 / d_1$	$d_5$	$k_o \sin k_o A_2 \cot k_o A_2 - k_o \cos k_o A_2 \sin k_o A_2$		
$C_{1b}$	$-C_{1b} \sin k_o A_1 / d_1 - C_{1b} \cos k_o A_1 / d_1 - \cot k_o A_1 / d_1 \cot k_o l$	$d_6$	$-k_o \sin k_o A_2 \sin k_o A_2 - k_o \cos k_o A_2 \cos k_o A_2$		
$C_{1c}$	$-C_{1c} \sin k_o A_1 / d_1 - C_{1c} \cos k_o A_1 / d_1 - 1 / d_1$	$f_2$	$\cot k_o A_2 + M_o (1 - \cot k_o A_2) / M_o$		
$d_5$	$\tan k_o \cot k_o l - \sin k_o A_1$	$d_6$	$d_5 \sin k_o A_1 + k_o d_5 \cos k_o A_1$		
$d_6$	$k_o \cot k_o A_1 + k_o \tan k_o \sin k_o A_1$	$d_5$	$d_6 \cos k_o A_1 - k_o d_6 \sin k_o A_1$		

(2)両端に弾塑性領域が生ずる場合(図-6参照)

3.(1)の誘導と同じ結果のみ記せば次式となる。

$$\left. \begin{aligned} M_{AB} &= k_{AB} (\alpha_{AB} \gamma_A + \beta_{AB} \gamma_B + \gamma_{AB} \psi_{AB}) + \gamma_5 M_{BA} + \gamma_6 M_{BB} \\ M_{BA} &= k_{AB} (\alpha_{BA} \gamma_B + \beta_{BA} \gamma_A + \gamma_{BA} \psi_{AB}) + \gamma_6 M_{BA} + \gamma_5 M_{BB} \end{aligned} \right\} \quad (17)$$

ただし係数内容は紙面の都合上省略する。

#### 4. 解法

前記誘導の弾塑性たわみ角式を用うれば、図-7に示すごとき一定軸力  $N$  および漸増水平力  $\gamma N$  が作用するラーメンの弾塑性挙動が解明可能となるが、その解法骨子は慣用の弹性座屈挠角法と類似であり、たゞ弾塑性地盤条件たる曲げモーメントの適合条件式が加わるのみといえ、その算法は2.で述べたごとく繰返し計算を必要とする。

#### 5. 結語

本論文は  $N$  を一定とした  $M-\phi$  近似直線を用うことにより、一定軸力および漸増曲げを受けけるラーメンの弾塑性安定限界を解明可能なしめたもので、同様の手法によりひずみ硬化の影響をも考慮した解析が可能となるが、これについては後日発表する予定である。

参考文献 1) 山崎・石川：連続ばかりの弾塑性座屈、第22回土木学会年次学術講演会構造機械部門、昭和42年5月

2) R. H. Wood: The Stability of Tall Building, Proc. of I.C.E., Vol. 11, 1958

3) 坂本 宏林：鋼構造骨組の弾塑性領域における変形と安定性に関する考察、土工、II, IV号

日本建築学会論文集/10, 113, 116号、昭和40年4月, 7月, 10月

4) 山崎・太田・北島：軸力と曲げの組み合せ応力に対する補足試験——、昭和40年度土木学会西部支部研究発表会論文集、昭和41年1月

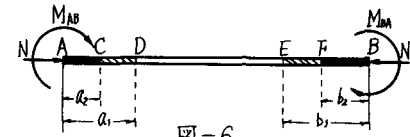


図-6

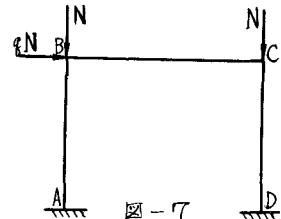


図-7